

# HELMO GRAMME

## Master énergie renouvelable

# Projet - Ecole supérieure

UE14 - Thermique du bâtiment

Etudiants:

DETERVILLE-François

GUILLAUME

HALLEUX BASTIEN

PIERRET CYRIL

SCHMIDT BRICE

Professeurs:

GRENSON Julien

DELVIGNE Elie

M1 GEDb

Année académique 2022-2023

# Contents

1	Introduction	1
2	Déperditions thermiques	1
	2.1 Déperditions enveloppe	1
	2.2 Déperditions local par local	2
3	Système de chauffage	4
	3.1 Dimensionnement des tuyaux	7
	3.2 GrundFos	7
	3.3 Dimensionnement et choix des émetteurs	7
4	Ventilation en air hygiénique	9
5	Réseau aéraulique de ventilation	10
6	Dimensionnement système double-flux	13
7	Régulation	14
8	Besoins nets en énergie	15
9	Conclusion	15
10	Annexes	17
	10.1 Simulations Trox	17
	10.2 Chauffage	21

#### 1 Introduction

Le but de ce projet est de présenter une étude exhaustive visant à améliorer l'efficacité énergétique de l'école supérieure située à Namur par le biais de techniques spéciales liées à la ventilation et au chauffage.

Le rapport est structuré autour de quatre objectifs principaux :

- Calculer les déperditions thermiques du bâtiment : Afin de déterminer la quantité de chaleur perdue à travers les différentes composantes du bâtiment et ainsi pouvoir dimensionner de manière appropriée les systèmes de chauffage à installer.
- Dimensionner les émetteurs et le réseau d'alimentation : Afin de proposer un système de chauffage efficace et économique qui répond aux besoins du bâtiment.
- Calculer les débits hygiéniques et dimensionner un système de ventilation doubleflux : Dans le but de garantir une qualité d'air optimale tout en maximisant l'efficacité énergétique grâce à la récupération de chaleur.
- Déterminer des systèmes de régulation : Pour assurer que le chauffage et la ventilation fonctionnent de manière optimale, en tenant compte des variations de la demande et des conditions climatiques.

#### 2 Déperditions thermiques

Dans le but de dimensionner la puissance nécessaire des émetteurs local par local, il a fallu calculer toutes les pertes que l'on pouvait retrouver dans le bâtiment. Celles-ci se retrouvaient sous la forme de pertes par transmission et par infiltration. Nous n'avions pas de pertes par ventilation car nous amenions de l'air ventilé déjà à la température que l'on voulait obtenir.

#### 2.1 Déperditions enveloppe

Dans le cadre de notre projet de conception du système de chauffage pour l'école, nous avons d'abord procédé à une analyse détaillée des déperditions thermiques totales de l'enveloppe du bâtiment. Cela a impliqué une évaluation exhaustive des pertes thermiques par transmission à travers les différents éléments de l'enveloppe du bâtiment (murs, toit, planchers, fenêtres, etc.), ainsi que des pertes par ventilation et par infiltration d'air.

Ce calcul des déperditions totales nous a permis de quantifier la quantité de chaleur perdue par l'édifice sous des conditions hivernales normales. En ayant ces données à notre disposition, nous avons pu déterminer la quantité de chaleur que notre système de chauffage doit fournir pour maintenir une température intérieure confortable et constante. Cela a été crucial pour dimensionner correctement notre système de chauffage. En connaissant la charge de chauffage totale, nous avons pu sélectionner une chaudière à condensation à gaz et des radiateurs de la taille appropriée pour répondre à cette demande. De plus, cette analyse nous a permis d'établir le débit d'eau chaude nécessaire à travers notre système et de choisir les tuyaux de la taille appropriée pour notre réseau de chauffage.

En somme, l'étude des déperditions totales de l'enveloppe du bâtiment a été la première étape essentielle pour concevoir un système de chauffage efficace et bien dimensionné pour notre école. Ce processus nous a assuré que notre système de chauffage peut fournir un confort thermique optimal aux utilisateurs du bâtiment tout en optimisant l'efficacité énergétique.

La déperdition à l'enveloppe comprend les déperditions par transmissions, par exfiltrations et par ventilations.

$$D_{enveloppe} = 107,535[kW] \tag{1}$$

#### 2.2 Déperditions local par local

Pour calculer les pertes local par local, nous avons d'abord déterminé les coefficients de transmission de chaque mur grâce à leur composition. Concernant les fenêtres, nous avons pris un coefficient constant de  $1,5~\rm W/m^2K$  et nous avons tenu compte de leur orientation. Voici un tableau récapitulatif de ceux-ci : 1

ΔT surfaces :	delta K
Extérieur	30
Couloir	0
Gym	5
Cave	11
Туре	U (W/m²K)
Façade briques	0,159
Façade zinc	0,16
Mur mitoyen	0,126
Plancher classes	0,157
Plancher gym	0,156
sol boulangerie	0,217
sol classe	0,216
toiture plate	0,245
fenêtres/portes	1,5
Mur intérieur	1
coefficient	
Nord	1,05
Sud	1
Ouest/Est	1,025

Figure 1: Coefficients de transmission et facteur d'orientation

Grâce à ces coefficients, nous avons pu obtenir les déperditions dans les murs et les fenêtres. Voici les déperditions dans les murs : 2

				Déperdition	ns mur par mur				
Type	Nom du local	Mur Nord	Mur Sud	Mur ouest	Mur est	Déperdition Mur Nord	Déperdition mur sud	Déperdition mur ouest	Déperdition mur es
RDC	P028	31.04	12,53	8,74	0,00	155,46	59,78	0.00	0,00
RDC	P029	17,94	32,34	0,00	0,00	0,00	154,25	0,00	0,00
RDC	P030	18,24	32,34	0.00	0,00	91,35	0,00	0,00	0,00
RDC	P031	8,41	0,00	0,00	32,34	42,10	0,00	0,00	26,35
RDC	P027	22,46	0,00	11,32	28,07	0,00	0,00	55,36	137,26
RDC	P026	0,00	0,00	18,32	40,09	0,00	0,00	89,55	202,52
RDC	P025	0,00	5,50	0,00	0,00	0,00	26,24	0,00	0,00
RDC	P024	0,00	7,49	0,00	0,00	0,00	35,72	0,00	0,00
RDC	P023	0,00	7,39	0.00	0,00	0,00	36,45	0,00	0,00
RDC	P022	0,00	7.49	16,70	0,00	0,00	35,72	81,66	0,00
RDC	P020	0,00	0,00	15,94	0,00	0,00	0,00	77,92	0,00
RDC	P019	0,00	0,00	0,00	43,04	0,00	0,00	0,00	210,42
RDC	P018	12,17	0,00	23,42	0,00	60,94	0,00	114,51	0,00
RDC	Local technique	0,00	0,00	11,79	11,79	0,00	0,00	0,00	57,66
RDC	local trapèze	0,00	15,53	0,00	6,69	0,00	74,10	0,00	32,72
RDC	Ascenseur + couloir	0,00	0,00	12,73	0,00	0,00	0,00	0,00	0,00
RDC	Grand couloir	25,36785	25,36785	0	8,74	0,00	0,00	0,00	0,00
		100	RDC				100		1 1 1 1 1 1 1 1 1 1 1 1 1 1 1 1 1 1 1
étage	P130	14,69	0,00	20,99	15,11	0,00	0,00	0,00	74,33
étage	P131	0,00	0,00	23,34	16,40	0,00	0,00	0,00	80,69
étage	P132	0,00	0,00	20,92	15,04	0,00	0,00	0,00	74,02
étage	P133	6,68	47,73	16,74	9,12	0,00	229,11	82,36	44,88
étage	Local technique	17,30	0,00	11,89	11,89	0,00	0,00	0,00	58,51
étage	local entretien	14,69	0,00	0,00	0,00	0,00	0,00	0,00	0,00
étage	Couloir étage	5.72	0.00	57.80	0.00	0.00	0.00	284.38	0.00

Figure 2: Déperditions dans les murs

Voici les déperditions dans les fenêtres : 2

			Déper	ditions fenê	tre par fenêtre				
Nom du local	fenêtre nord	fenêtre sud	fenêtre ouest	fenêtre est	Nom du local	Déperdition fenetre Nord	Déperdition fenetre sud	Déperdition fenetre ouest	Déperdition fenetre est
P028	28	4,16	0	0	P028	1260	187,2	0	0
P029	14,4	0	0	0	P029	648	0	0	0
P030	14,1	0	0	0	P030	634,5	0	0	0
P031	14,1	0	0	0	P031	634,5	0	0	0
P027	0	0	16,75	0	P027	0	0	753,75	0
P026	0	0	21,77	0	P026	0	0	979,65	0
P025	0	1,5	0	0	P025	0	67,5	0	0
P024	0	0	0	0	P024	0	0	0	0
P023	0	0	0	0	P023	0	0	0	0
P022	0	0	3	0	P022	0	0	135	0
P020	0	0	4	0	P020	0	0	180	0
P019	0	0	0	3,67	P019	0	0	0	165,15
P018	0	0	7	0	P018	0	0	315	0
Local technique	0	0	0	0	Local technique	0	0	0	0
local trapèze	0	2,25	0	0	local trapèze	0	101,25	0	0
Ascenseur + couloir	0	0	0	0	Ascenseur + couloir	0	0	0	0
Grand couloir	0	0	0	0	Grand couloir	0	0	0	0
				40.					
P130	0	0	0	5,88	P130	0	0	0	264,6
P131	0	0	0	6,94	P131	0	0	0	312,3
P132	0	0	0	5,88	P132	0	0	0	264,6
P133	0	0	11,53	3,47	P133	0	0	518,85	156,15
Local technique	0	0	0	0	Local technique	0	0	0	0
Local entretien	0	0	0	0	Local entretien	0	0	0	0
Couloir étage	0	0	21.7	0	Couloir étage	0	0	1000,9125	0

Figure 3: Déperditions dans les fenêtres

La somme de ces déperditions plus les déperditions par infiltration nous donne les déperditions totales local par local ce qui nous permet de dimensionner nos émetteurs. 4

	Déperditions local par local									
Niveau	Nom du local	Surface au sol (m²)	Volume (m³)	Déperditions infiltration (W)	Déperditions murs (W)	Déperditions sol (W)	Déperditions plafond (W)	Déperditions fenêtre (W)	Déperditions toiture (W)	Déperditions totales
RDC	P028	233,36	700,08	9269,61	215,24	554,46	183,19	1447,20	1	11669,70
RDC	P029	53	159	3958,17	154,25	125,93	41,61	648,00	1	4927,96
RDC	P030	52	156	3958.17	91.35	123.55	40.82	634,50	1	4848.39
RDC	P031	34	102	2754.67	68.45	80.78	26,69	634.50	1	3565.10
RDC	P027	54.93	219.72	6872.39	192.62	130.51	0.00	753.75	1	7949.28
RDC	P026	79,09	316,36	9812,93	292,07	187,92	0,00	979,65	T .	11272,57
RDC	P025	7,02	28,08	856,80	26,24	16,68	0,00	67,50	1	967,21
RDC	P024	7,18	28,72	916,53	35,72	17,06	0,00	0,00	1	969,31
RDC	P023	6,72	26,88	905,07	36,45	15,97	0,00	0,00	I	957,49
RDC	P022	6,99	27,96	3328,15	117,38	16,61	0,00	135,00	1	3597,14
RDC	P020	21,09	84,36	2440,26	77,92	50,11	0,00	180,00	1	2748,29
RDC	P019	50,04	200,16	5716,86	210,42	118,90	0,00	165,15	1	6211,32
RDC	P018	32,93	131,72	4355,97	175,45	78,24	0,00	315,00	1	4924,66
RDC	Local technique	20,48	81,92	1443,54	57,66	48,66	0,00	0,00	I	1549,86
RDC	Grand couloir	11,61	34,83	0,00	0,00	38,28	9,11	0,00	1	47,39
RDC	local trapèze	7,79	31,16	2995,91	106,82	18,51	0,00	101,25	1	3222,49
RDC	Ascenseur + couloir	13,05	39,15	1558,10	0,00	31,01	0,00	0,00	25,14	1614,25
étage	P130	66	184.8	2568.9312	74.33	0.00	1	264.60	501.27	3409.13
étage	P131	73,4	205,52	2856,96288	80,69	0,00	1	312,30	557,47	3807,43
étage	P132	68,6	192,08	2561,14656	74.02	72,71	1	264,60	521,02	3493,49
étage	P133	95,6	267,68	10844,00352	356,36	52,08	1	675,00	726,08	12653,52
étage	Local technique	19,85	55,58	1455.72768	58,51	0,00	1	0,00	150,76	1665,00
étage	Local entretien	10,87	47,936	0	0,00	0,00	1	0,00	82,56	82,56
étage	Couloir étage	52,793	147,8204	9730,8	0,00	248,66	1	1000,91	400,96	11381,33

Figure 4: Déperditions totales

### 3 Système de chauffage

Dans notre établissement, nous avons mis en place un système de chauffage centralisé sophistiqué qui nous permet de maintenir une température confortable et uniforme dans tout le bâtiment, tout en optimisant l'efficacité énergétique.

Pour ce faire, nous utilisons ventilation double-flux couplé à une pompe à chaleur pour pulser de l'air à une température constante de 21°C dans l'ensemble du bâtiment.

Cependant, nous savons que chaque pièce a des besoins spécifiques en matière de chauffage, en fonction de son usage, de sa taille, de son isolation et de sa position dans le bâtiment. Pour compenser ces variations et assurer un confort optimal, nous utilisons également une chaudière à condensation au gaz pour combler les pertes thermiques spécifiques à chaque pièce.

Cette chaudière à condensation à haut rendement utilise le gaz comme combustible pour produire de la chaleur, et elle est capable de récupérer une partie de la chaleur normalement perdue dans les gaz d'échappement, ce qui la rend très efficace par rapport aux chaudières traditionnelles.

La chaleur produite par la chaudière est distribuée dans chaque pièce par des émetteurs qui sont des radiateurs. Ces radiateurs sont soigneusement dimensionnés pour fournir exactement la quantité de chaleur nécessaire pour compenser les pertes thermiques de chaque pièce.

En combinant ces deux systèmes, nous sommes en mesure de chauffer efficacement et confortablement notre établissement, tout en minimisant notre consommation d'énergie et notre impact sur l'environnement.

Page: 4





#### 3.1 Dimensionnement des tuyaux

Nous nous sommes aidés d'un abaque pour trouver le  $\phi$  de nos tuyaux. La vitesse de l'eau dans nos canalisations est de 1 [m/s]. L'abaque est repris en annexe de ce projet.

#### 3.2 GrundFos

Après une simulation sur Grund Fos avec un débit de 2  $[m^3/h]$ , nous optons pour un circulateur MAGNA3 25-60 [1]

#### 3.3 Dimensionnement et choix des émetteurs

Après avoir réfléchi aux différentes options à notre disposition quant au type d'émetteurs pour notre système de chauffage, nous avons finalement opté pour des radiateurs classiques. Pour les choisir, nous avons été sur le site Internet du fabriquant Henrad qui nous avait été renseigné en classe.

Voilà tout d'abord un tableau récapitulatif des radiateurs par local et de la puissance qu'ils vont émettre.

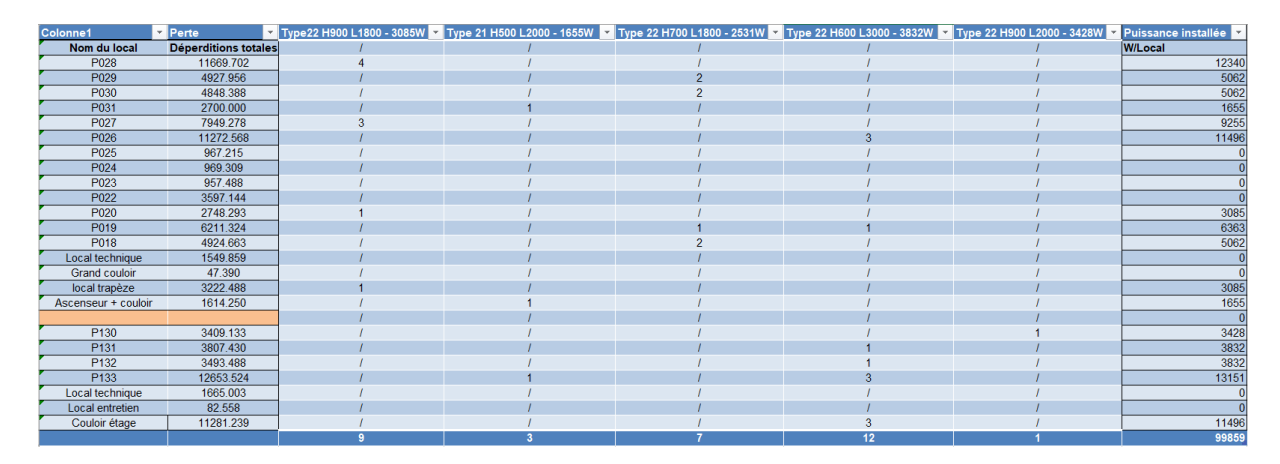


Figure 5: Émetteurs de chauffage

Nous avons sélectionné deux gammes de radiateurs, la première étant la gamme : "Premium All In" dans laquelle nous avons pris tous nos émetteurs sauf le radiateur délivrant une puissance de 3832 W que nous avons pris dans la gamme : "Standard All In".

Pour commencer donc le radiateur de 3832 W est un type 22 donc il a deux panneaux de chauffe espacés de 100 mm entre eux et de 125 mm entre le plus éloigné du mur, et le mur. Nous avons sélectionné des radiateurs vraiment plus larges que hauts, ce qui nous donne pour celui-ci, 600 mm de haut et 3000 mm de large. C'est notre radiateur le plus puissant.

Ensuite dans la gamme : "Premium All In", nous avons un radiateur de 3428 W qui

est aussi de type 22. Cette gamme a les mêmes dimensions de profondeur que la gamme citée dans le paragraphe juste au-dessus. Mais cet émetteur est dans à lui plus haut avec 900 mm de haut et 2000 mm de large.

Après cela nous avons des radiateurs de 3085 W. Ils sont de type 22 aussi et ont 900 mm de haut pour 1800 mm de large.

Pour continuer à descendre dans les puissances, nous avons eu besoin de radiateurs de 2531 W. Ils sont de type 22 et ont une hauteur de 700 mm pour une largeur de 1800 mm. Enfin le dernier modèle d'émetteurs que nous avons aussi choisi sont des radiateurs de 1655 W, cette fois de type 21 donc avec 77 mm entre les deux panneaux et 102 mm entre le panneau le plus éloigné du mur et le mur. Ils ont une hauteur de 500 mm et une largeur de 2000 mm. C'est le plus petit modèle d'émetteur de chaud que nous avons sélectionné.

Nous avons donc au total, cinq types de radiateurs dans notre système pour un total de 32 émetteurs.

Page: 8

### 4 Ventilation en air hygiénique

Pour dimensionner notre système de ventilation à double-flux, nous avons dû déterminer le débit d'air hygiénique minimal pour chaque espace du bâtiment. Nous avons utilisé le logiciel PEB, qui se base sur les normes en vigueur pour accomplir cette tâche. Conformément au code du bien-être au travail, il est stipulé qu'un enseignant doit bénéficier d'un débit d'air minimum de 44 m³/h dans une salle de classe. Quant aux étudiants, bien qu'ils ne soient pas directement concernés par le code du bien-être au travail, il est généralement recommandé qu'ils disposent d'un débit d'air minimal de 22 m³/h. En ce qui concerne les toilettes, nous avons adopté le standard couramment utilisé de 25 m³/h. Pour la salle polyvalente, le débit de 4400 m³/h est très élevé mais nous avons opté pour un système de régulation de débit car nous estimons qu'il sera très rarement nécessaire de fournir un tel débit. Plus de détails concernant ce système se trouve dans la section régulation 7

Voici un tableau reprenant les débits calculés pour chaque local. 6 Pour plus de visualisation, la représentation de ceux-ci se retrouve sur le plan en annexe. 10.2

Niveau	Nom du local	Surface au sol (m²)	Débit air hygiénique / pièce (m³/h) Norme	Pulsion (m³/h)	Extraction (m³/h)
RDC	P028	233,36	4400	4400	4400
RDC	P029	53	572	572	572
RDC	P030	52	572	572	572
RDC	P031	34	44,2	44,2	44,2
RDC	P027	54,93	572	572	572
RDC	P026	79,09	682	682	682
RDC	P025	7,02	44	44	44
RDC	P024	7,18	25	0	33,33
RDC	P023	3,89	25	0	33,33
RDC	P022	6,99	25	0	33,33
RDC	Zone toilette	2,83	25	100	0
RDC	P020	21,09	27,42	27,42	27,42
RDC	P019	50,04	88	88	88
RDC	P018	32,93	66	66	66
RDC	Local technique	20,48	26,2	0	43,17
RDC	local trapèze	7,79	10,13	10,13	10,13
RDC	Grand couloir	11,61	15,1	15,1	15,1
RDC	Ascenseur + couloi	13,05	16,97	43,17	0
étage	P130	66	682	682	682
étage	P131	73,4	682	682	682
étage	P132	68,6	682	682	682
étage	P133	95,6	682	682	682
étage	Local technique	19,85	25.8	25,8	0
étage	Local entretien	10,87	14,13	0	108,56
étage	Couloir étage	52,793	68,63	82,76	0
XV.			Total	10072,58	10072,57

Figure 6: débit hygiénique

### 5 Réseau aéraulique de ventilation

Pour pulser le débit souhaité dans chaque pièce, il a fallu calculer la section nécessaire en essayant de maintenir une vitesse maximum de 3 m/s dans le réseau de distribution. En effet, des vitesses élevées entrainent des bruits dans le réseau et de l'inconfort dans les pièces desservies.

Le logiciel Trox a permis de dimensionner les bouches de ventilation nécessaires dans chaque local tout en tenant compte du débit nécessaire ainsi que de la limitation des vitesses pour les nuisances acoustiques. La conception des bouches permettait aussi une diffusion globale en évitant le côté désagréable du courant d'air sur soi 8. Pour certaines pièces qui ne sont pas des classes pour des raisons acoustiques, un transfert par grille était nécessaire.

La disposition des bouches dans les pièces est assurée pour pulser du côté des parois froides, à savoir les fenêtres et à plus de 1,5 m des murs.





Figure 7: Diffuseur régulateur TVT

Figure 8: grille de ventilation

Nous avons utilisé des bouches tellus-LOV 9 et LVS 10 ainsi qu'un TVT 7 qui permet la régulation de notre salle polyvalente.





Figure 9: Diffuseur tellus-LOV

Figure 10: Diffuseur LVS

Voici un tableau reprenant les sections de bouches normalisées ainsi que les vitesses en sortie de bouches. 11 Les simulations de ces dernières sur le logiciel Trox se trouvent en annexe.

Nom du local	diamètre bouche pulsion (mm)	diamètre bouche pulsion normalisé (mm)	vitesse sortie (m/s)	référence	diamètre bouche extraction (mm)	diamètre bouche extraction normalisé (mm)	vitesse sortie (m/s)	référence	Transfert grille (mm)
P028	720,23	500x700	2,99	TVT	720,23	500x700	2,99	TVT	1
P029	259,68	315,00	2,34	tellus-LOV	259,68	315,00	2,34	tellus-LOV	1
P030	259,68	315,00	2,34	tellus-LOV	259,68	315,00	2,34	tellus-LOV	1
P031	72,19	100,00	1,56	LVS/100	72,19	100,00	1,56	LVS/100	1
P027	259,68	315,00	2,34	tellus-LOV	259,68	315,00	2,34	tellus-LOV	1
P026	283,55	315,00	2,79	tellus-LOV	283,55	315,00	2,79	tellus-LOV	1
P025	72,02	100,00	1,56	LVS/100	72,02	100,00	1,56	LVS/100	1
P024	1	1	1	1	62,68	100,00	1,18	LVS/100	125x225
P023	1	1	1	1	62,68	100,00	1,18	LVS/101	125x225
P022	1	1	1	1	62,68	100,00	1,18	LVS/102	125x225
Zone toilette	108,58	125,00	2,31	tellus-LOV	1	1	1	1	125x225
P020	56,86	100,00	0,97	LVS/100	56,86	100,00	0,97	LVS/100	1
P019	101,86	100,00	2,44	tellus-LOV	101,86	100,00	2,44	tellus-LOV	1
P018	88,21	100,00	2,33	LVS/100	88,21	100,00	2,33	LVS/100	1
Local technique	1	1	1	./	71,34	100,00	1,53	LVS/100	125x225
local trapèze	34,56	100,00	0,36	LVS/100	34,56	100,00	0,36	LVS/100	1
Grand couloir	42,19	100,00	0,53	LVS/100	42,19	100,00	0,53	LVS/100	1
Ascenseur + couloir	71,34	100,00	1,53	LVS/100	1	1	1	1	125x225
						4			./
P130	283,55	315,00	2,79	tellus-LOV	283,55	315,00	2,79	tellus-LOV	1
P131	283,55	315,00	2,79	tellus-LOV	283,55	315,00	2,79	tellus-LOV	1
P132	283,55	315,00	2,79	tellus-LOV	283,55	315,00	2,79	tellus-LOV	1
P133	283,55	315,00	2,79	tellus-LOV	283,55	315,00	2,79	tellus-LOV	1
Local technique	55,15	100,00	0,90	LVS/100	1	1	1	1	125x225
Local entretien	1	1	1	1	113,13	125,00	2,52	tellus-LOV	125x225
Couloir étage	98,78	100,00	2,31	tellus-LOV	1	1	1	1	125x225

Figure 11: Bouches de ventilation

Concernant les gaines, celles-ci doivent être dimensionnées pour pouvoir véhiculer les débits nécessaires à la distribution de l'air hygiénique dans chaque local. Pour l'étage et une partie du rez-de-chaussée, il a fallu passer des gaines circulaires à des gaines rectangulaires [2] car la hauteur du faux plafond ne le permettait pas12. Pour cela, nous avons utilisé la formule d'Ashrae tout en tenant compte de limiter le rapport a/b à minimum 1/3.

$$D = 1, 3 \cdot \frac{(a \cdot b)^{0,625}}{(a+b)^{0,25}} \tag{2}$$

Lieu	Hauteur (m)
étage	0,38
boulagerie	1,37
classe RDC Sud	1,68
classe RDC Nord	0,37

Figure 12: Hauteur faux plafond

Voici le tableau reprenant les dimensions normalisées ainsi que les débits des gaines pour le  $\mathrm{RDC}:13$ 

réseau RDC	Pulsion (m³/h)	Extraction (m³/h)	Section Pulsion (mm)	Section rectangle pulsion	Section Circulaire (mm)	Vitesse gaine (m/s)	Section Extraction (mm)	Section rectangle extraction (mm)	Section Circulaire (mm)	Vitesse gaine (m/s)
Α	7236,02	1	923,6194307	1	1000	2,56	1	1	. 1	. 1
В	5603,3	1	812,7652354	1	800	3,09	1	1	1	1
С	5559,1	1	809,5532578	1	800	3,07	1	1	1	1
D	1159,1	1	369,6610004	1	400	2,56	7	1	1	1
E	587,1	1	263,0868989	1	300	2,31	1	1	. 1	. 1
F	572	1	259,6816105	1	300	2,24	1	1	1	1
G	1632,72	1	438,7317232	250×700	1	2,94	1	1	1	1
Н	1589,55	1	432,892716	250×700	7	2,86	7	7	1	7
a.	1017,55	. 7	346,3546805	200×550	1	2,91	1	1	. 1	1
J	335,55	1	198,8940555	1	200	2,99	1	1	1	1
К	142,13	1	129,4452324	1	125	3,21	1	1	1	1
L	54,13	1	79,88444001	1	100	1,91	7	1	1	1
М	44	1	72,02272016	1	100	1,56	1	1	. 1	1
N	193,42	7	151,0058843	1	150	3,04	1	ł	1	1
0	127,42	1	122,5637335	1	125	2,88	1	1	1	1
Р	100	1	108,578336	1	125	2,26	7	1	1	7
1	1	7236,02	. 1	1	1	1	923,6194307	· · · · · · ·	1000	2,56
2	1	44,2	1	1	1	1	72,18622257	1	100	2,55
3	1	7191,81	1	1	1	1	920,7935834	1	1000	2,54
4	1	1159,1	1	1	1	7	369,6610004	1	400	2,56
5	1	587,1	1	1	1	1	263,0868989	1	300	2,31
6	1	572	1	1	1	1	259,6816105	1	300	2,24
7	1	1632,71	1	1	1	1	438,7303796	250x700	1	2,94
8	1	1589,54	1	1	1	7	432,8913543	250x700	7	2,86
9	1	1017,54	1	1	1	1	346,3529786	200x550	1	2,91
10	1	335,54	1	1	1	1	198,8910917	ł	200	2,966824978
11	1	269,54	1	1	1	1	178,2603659	1	200	2,383256853
12	1	242,12	1	1	1	1	168,9501237	1	160	3,345016912
13	1	142,13	1	1	. 1	1	129,4452324	1	125	3,217165093
14	1	98,13	1	1	1	1	107,5583375	1	125	2,221208827
15	1	10,13	1	1	1	ł	34,55794461	1	100	0,358275461
16	7	99,99	1	1	1	1	108,5729069	1	125	2,263310615
17	1	66,66	1	1	. 1	1	88,64940729	1	100	2,357615224
18	- 1	33,33	7	4	1	1	62,68459704	1	100	1,178807612

Figure 13: Gaines ventilation RDC

Voici le tableau reprenant les dimensions normalisées ainsi que les débits des gaines pour l'étage : 14

réseau étage	Pulsion (m³/h)	Extraction (m³/h)	Section Pulsion (mm)	Section Extraction (mm)	Section rectangle pulsion (mm)	Section Circulaire (mm)	Vitesse gaine (m/s)	Section rectangle extraction (mm)	Section Circulaire (mm)	Vitesse gaine (m/s)
débit total	2836,56	2836,56	578,2813268	578,2813268	350x850	1	2,96	350x850	/	2,96
Α	2753,8		569,7828581	0	350x850	1	2,87	0	/	0
В	2728		567,1074657	0	350x850	1	2,85	0	1	0
С	2046		491,1294719	0	300x750	1	2,83	0	1	0
D	1364		401,0055346	0	250x600	1	2,82	0	/	0
E	682		283,5537328	0	/	315	2,43	0	/	0
F	82,76		98,77645202	0	1	100	2,93	0	1	0
Н	A &	2836,56	0	578,2813268	0	1	0	350x850	1	2,87
1		2728	0	567,1074657	0	1	0	350x850	/	2,85
J		2046	0	491,1294719	0	1	0	300x750	/	2,83
K		1364	0	401,0055346	0	1	0	250x600	1	2,82
L		682	0	283,5537328	0	315	0	1	315	2,43

Figure 14: Gaines ventilation étage

Pour plus de clarté, la représentation sur le plan de notre réseau aéraulique avec la dimension des gaines ainsi que le débit véhiculé et la vitesse se trouve en annexe : 10.2

#### 6 Dimensionnement système double-flux

Grâce aux débits d'air hygiénique par local calculé précédemment, nous pouvons dimensionner notre système. Notre installation doit pouvoir fournir un débit d'air total de  $10073~\mathrm{m}^3/\mathrm{h}$ .

Notre choix s'est porté sur un système double-flux avec pompe à chaleur intégrée. Le modèle est un RHP 1200 U et plus précisment RHP 50 de VENTALIRgroup[3]. L'avantage de ce dernier est qu'il possède une PAC. Cette dernière permet de chauffer l'air de l'extérieur à une certaine température et dans notre cas 21 degrés mais aussi de le rafraichir en été.



Figure 15: système double-flux avec pompe à chaleur intégrée

Le modèle RHP 50 comme mentionné dans la fiche technique [4] à un débit d'air maximal de  $11~000~\rm{m}^3/h$  et une puissance de chauffe maximal de  $65~\rm{kW}$  avec un rendement de 83% et un COP de 10. [5]

Les 65 kW sont largement suffisant car grâce à l'échangeur dans le système double-flux, la PAC ne doit plus chauffer de l'air directement issu de l'extérieur mais un air qui a été réchauffé par l'air extrait de l'intérieur du batiment.

$$\delta T = -9 + (21 + 9) \cdot 0.83 = 15,9^{\circ} C \tag{3}$$

$$P = 0.34 \cdot 10073 \cdot (21 - 15, 9) = 17,47kW \tag{4}$$

### 7 Régulation

Suite à l'étape du dimensionnement de notre système de chauffage et de ventilation pour l'école, nous nous sommes tournés vers l'optimisation de ces installations pour en améliorer l'efficacité et réaliser des économies d'énergie. Pour cela, nous avons décidé d'intégrer des systèmes de régulation au sein de notre bâtiment.

Dans cette perspective, nous avons eu le privilège d'avoir une entrevue avec Monsieur Jolien, représentant de la société Priva, leader en matière de solutions de contrôle pour la gestion de l'énergie et du climat intérieur des bâtiments. Monsieur Jolien avait récemment donné une présentation sur la régulation des bâtiments à l'Institut Gramme, ce qui nous a incités à solliciter son expertise pour notre projet.

Durant notre entretien, Monsieur Jolien nous a fourni des conseils et nous a orienté vers plusieurs pistes d'amélioration potentielles. Il a souligné l'importance d'un contrôle fin des installations de chauffage et de ventilation, permettant d'ajuster en temps réel les conditions intérieures en fonction des besoins spécifiques de chaque zone de l'école et des variations extérieures.

Nous avons donc décidé d'installer une sonde de température, de pression et de  $CO_2$  à l'endroit où l'air est repris dans notre salle polyvalente, et ce, pour plusieurs raisons.

Grâce au logiciel PEB, nous avons déterminé un débit d'air hygiénique de 4400 m<sup>3</sup>/h, ce qui est considérable. Il faut noter que la salle polyvalente est principalement un lieu de passage, où le temps d'occupation reste généralement court. L'installation d'un capteur de  $CO_2$  nous permet de réguler le débit d'air introduit en fonction de l'occupation réelle de la salle.

En ce qui concerne le chauffage, nous avons positionné une sonde extérieure sur la face nord du bâtiment, qui est généralement la plus exposée aux conditions climatiques défavorables. De plus, deux sondes ont été installées dans deux pièces de référence, l'une située au nord et l'autre au sud du bâtiment. Nous avons ensuite effectué une moyenne pondérée des valeurs relevées par ces deux sondes afin d'optimiser la régulation de la température intérieure par la chaudière.

### 8 Besoins nets en énergie

Les besoins nets en énergie sont constitués à partir de la puissance nécessaire que notre chaudière et notre système double-flux doivent fournir pour atteindre une température de 21 degrés dans notre bâtiment. Pour effectuer ce calcul, nous nous basons sur les degrés jours de la ville de Namur.

Pour notre calcul, nous avons estimé que l'école est utilisée 210 jours sur l'année. La température moyenne devient :

$$T = 15 - \frac{2281}{210} = 4{,}138^{\circ}\text{C}$$
 (5)

On peut ensuite calculer la puissance de la ventilation et de la chaudière grâce à la valeur obtenue. Nous trouvons respectivement 17,47 kW et 99,76 kW ce qui nous permet de calculer l'énergie nécessaire en kWh.

$$17,47W = 83032kWh (6)$$

$$99,76W = 502806 \text{kWh} \tag{7}$$

En connaissant le prix du kWh du gaz et de l'électricité, à savoir  $0.06 \in 0.4 \in 0.4$  nous pouvons calculer le coût de l'énergie sur une année.

$$83032 \cdot 0, 4 = 35213$$
 (8)

$$502806 \cdot 0,06 = 30168$$
 (9)

Ce qui nous donne un total de 65 381 €

#### 9 Conclusion

Pour conclure ce projet, nous avons accompli toutes les étapes initialement prévues et établi une solution optimisée pour le chauffage et la ventilation de notre établissement scolaire.

Notre point de départ a été le calcul des déperditions thermiques, étape essentielle qui nous a guidés dans le choix des systèmes de chauffage et de ventilation. Ainsi, grâce à ces calculs, nous avons pu dimensionner correctement ces systèmes en fonction de la puissance nécessaire et des débits d'air hygiéniques requis.

Par la suite, nous avons adapté les émetteurs et le réseau d'alimentation pour chaque système, en prenant en compte les spécificités de l'établissement, afin d'assurer une distribution efficace et équilibrée de la chaleur et de l'air frais.

Enfin, nous avons intégré des systèmes de régulation provenant de chez Priva. Ces derniers permettent d'ajuster de manière fine et automatique la performance des systèmes de

chauffage et de ventilation, afin de maximiser leur efficacité tout en minimisant leur consommation énergétique.

En résumé, cette étude a été une démarche complète et intégrée qui nous a permis de sélectionner, dimensionner, et optimiser les systèmes de chauffage et de ventilation pour notre établissement, en vue d'assurer un confort optimal tout en respectant les normes d'efficacité énergétique.

Page: 16

#### 10 Annexes

#### 10.1 Simulations Trox

Le logiciel Trox a permis de dimensionner les bouches de pulsion et d'extraction ainsi que les grilles de ventilation entre certains locaux tout en tenant compte des nuisances acoustiques. On estime que pour une classe, le nombre de décibels maximum acceptable est de 30 dB.

Voici la simulation pour les classes de 30 personnes :

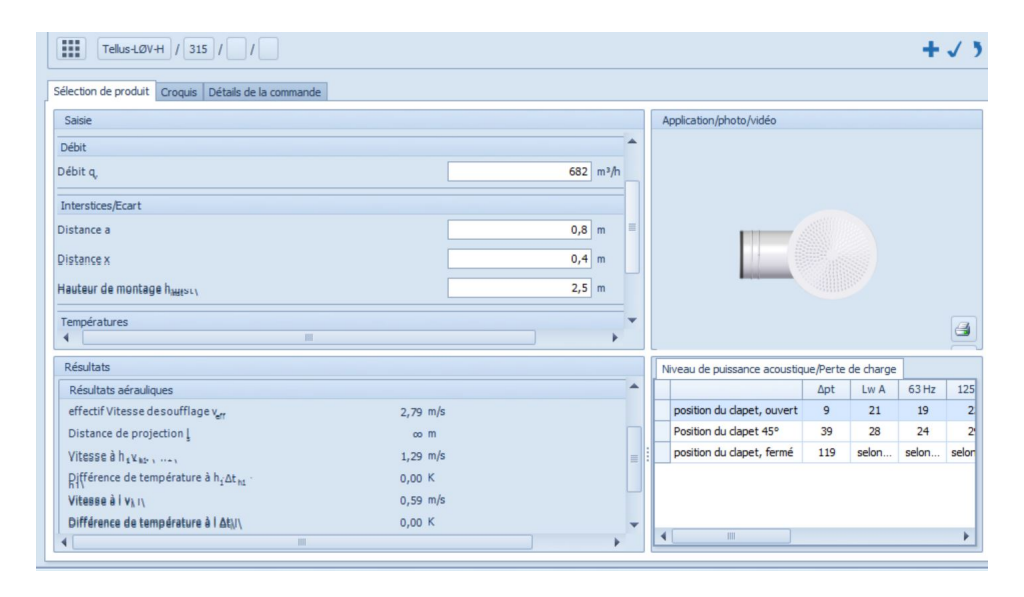


Figure 16: Simulation pour local 30 personnes tellus-LOV

Voici la simulation pour les classes de 25 personnes :

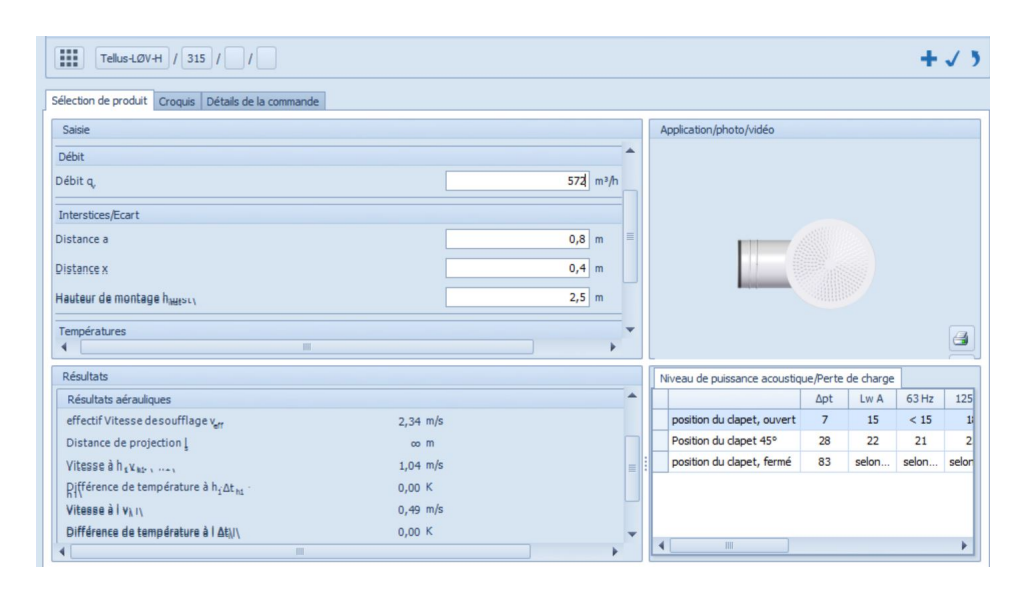


Figure 17: Simulation pour local 25 personnes tellus-LOV

Voici la simulation pour les toilettes :

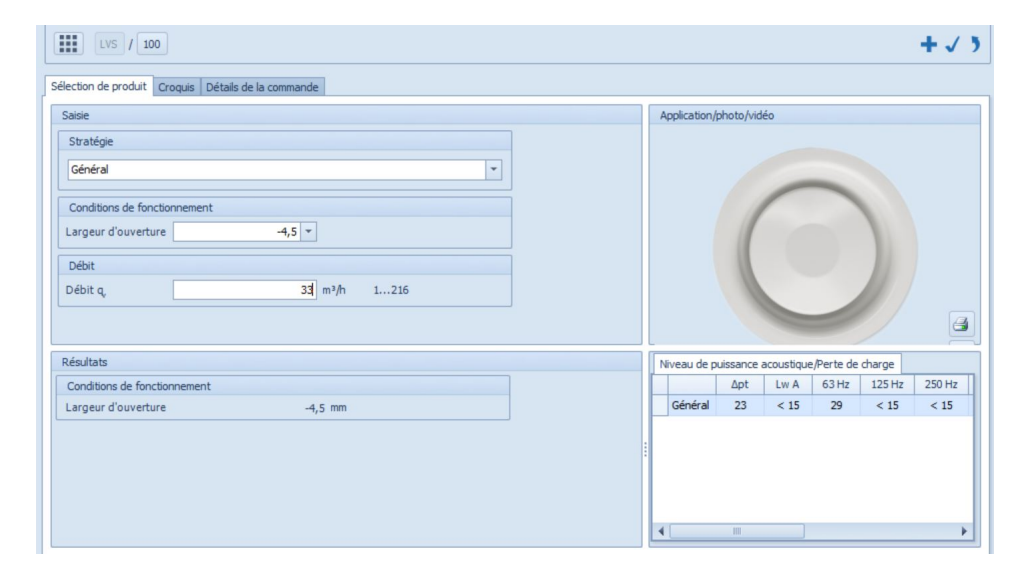


Figure 18: Simulation toilette LVS

Voici la simulation pour le grand couloir à l'étage :

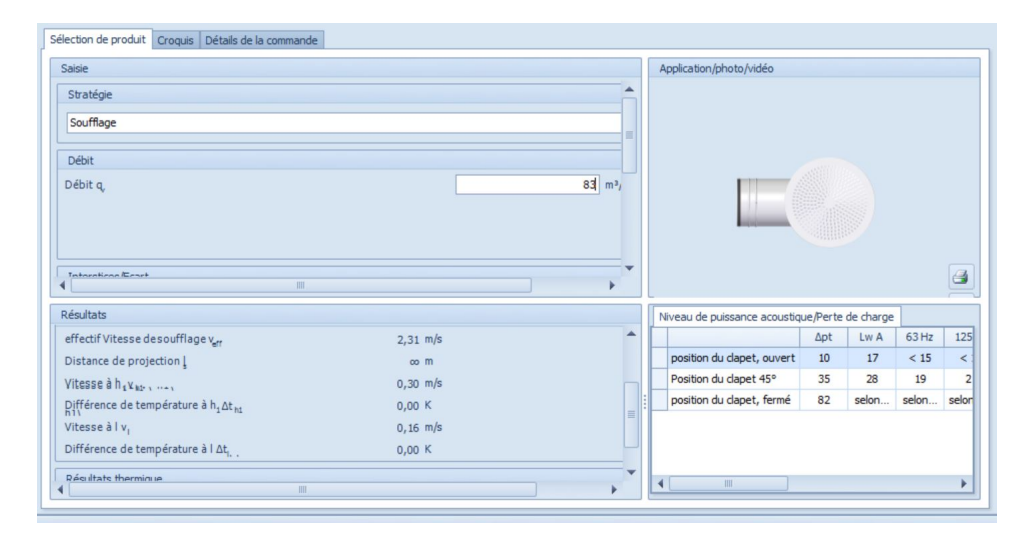


Figure 19: Simulation grand couloir à l'étage tellus-LOV

Voici la simulation pour le bureau au RDC :

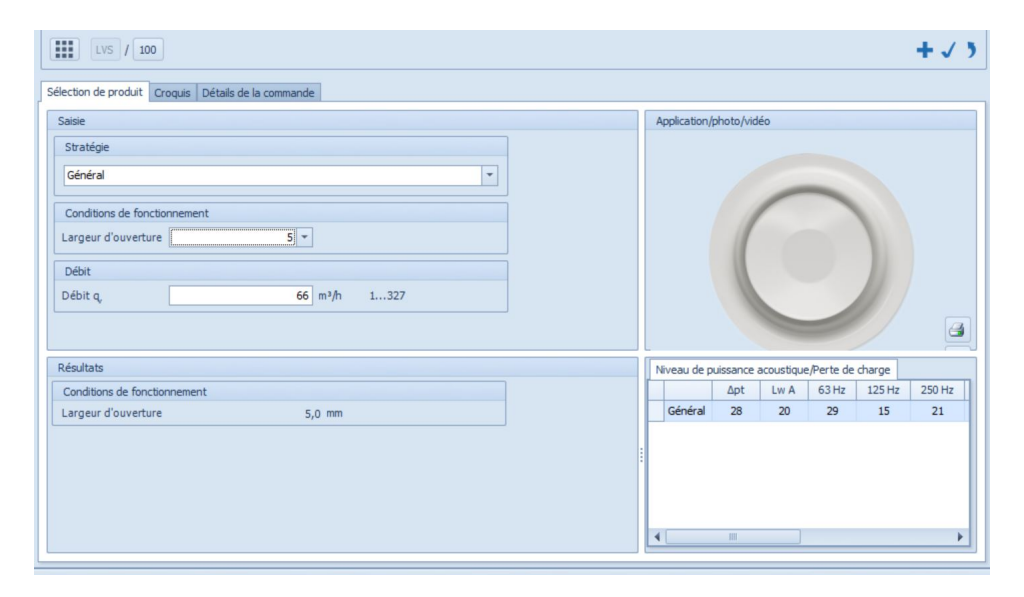


Figure 20: Simulation bureau RDC LVS

Voici la simulation pour le local 019 au RDC :

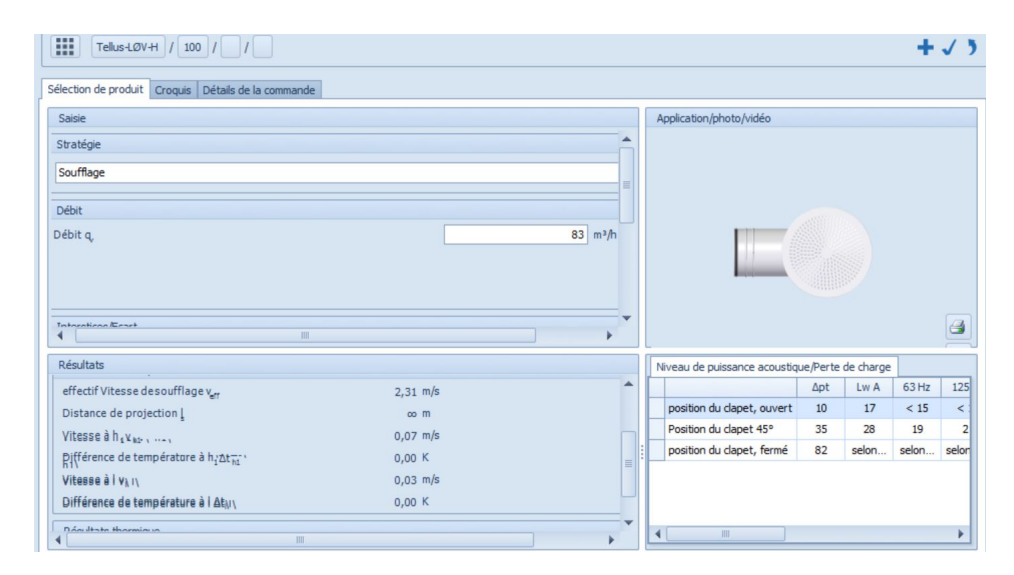


Figure 21: Simulation local 019 RDC tellus-LOV

Voici la simulation pour une grille de ventilation :

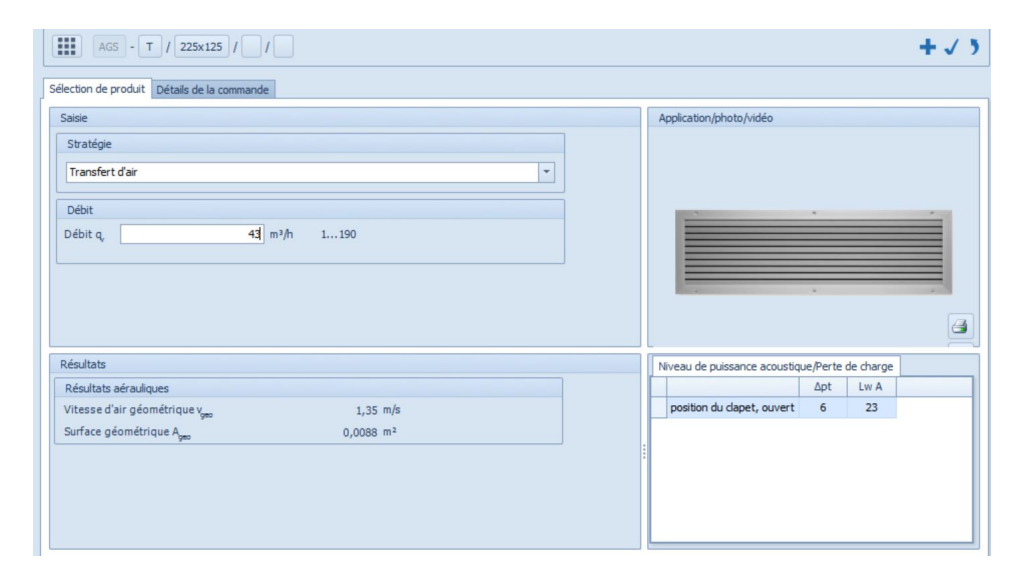


Figure 22: Simulation grille de ventilation

Voici la simulation pour notre régulateur dans la salle polyvalente :

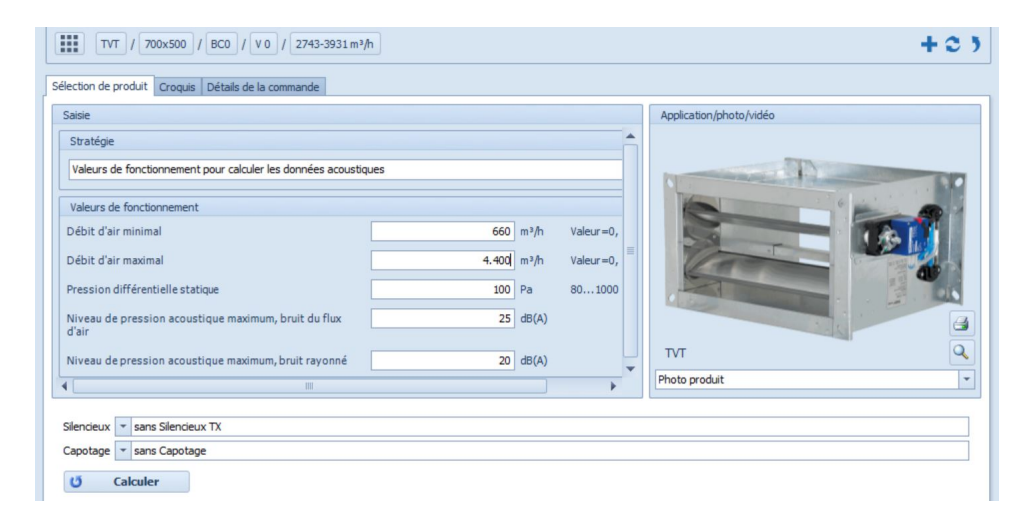


Figure 23: Simulation régulateur TVT dans salle polyvalente

### 10.2 Chauffage

Abaque utilisé pour déterminer les diamètres nominaux des canalisations du chauffage.

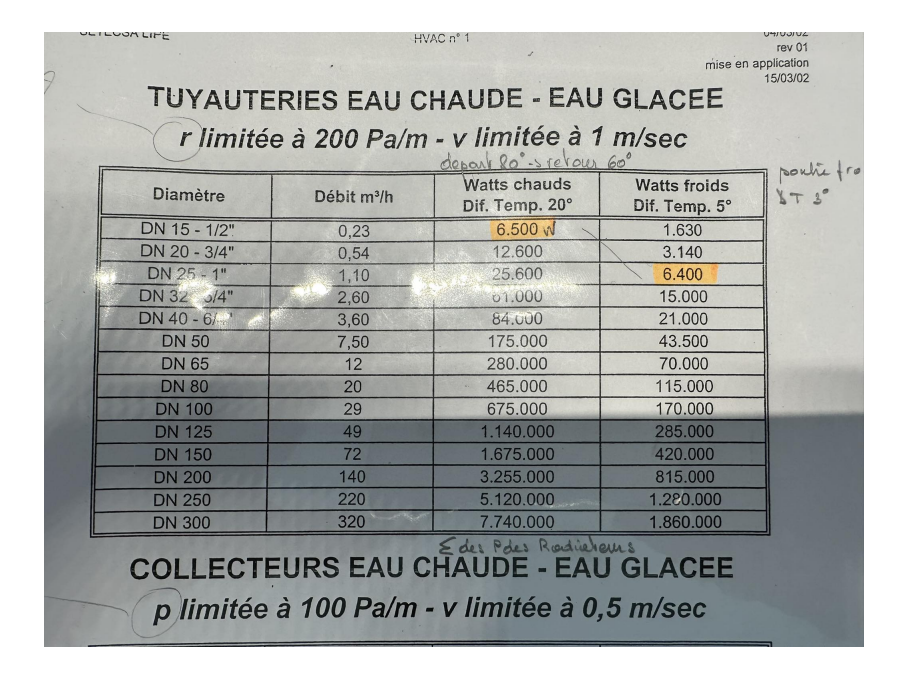


Figure 24: Abaque





# List of Figures

1	Coefficients de transmission et facteur d'orientation	2
2	Déperditions dans les murs	3
3	Déperditions dans les fenêtres	3
4	Déperditions totales	3
5	Émetteurs de chauffage	7
6	débit hygiénique	9
7	Diffuseur régulateur TVT	10
8	grille de ventilation	10
9	Diffuseur tellus-LOV	10
10	Diffuseur LVS	10
11	Bouches de ventilation	11
12	Hauteur faux plafond	11
13	Gaines ventilation RDC	12
14	Gaines ventilation étage	12
15	système double-flux avec pompe à chaleur intégrée	13
16	Simulation pour local 30 personnes tellus-LOV	17
17	Simulation pour local 25 personnes tellus-LOV	17
18	Simulation toilette LVS	18
19	Simulation grand couloir à l'étage tellus-LOV	18
20	Simulation bureau RDC LVS	19
21	Simulation local 019 RDC tellus-LOV	19
22	Simulation grille de ventilation	20
23	Simulation régulateur TVT dans salle polyvalente	20
24	Abaque	21

### References

[1] GrundFos. Référence du circulateur grundfos, 2023. URL https://product-selection.grundfos.com/be/fr/products/magna/magna3-25-60-97924245?pumpsystemid=2119947504&tab=variant-sizing-results. Consulté le 08 juin 2023.

- [2] CAIROX. Référence gaines rectangulaires, 2023. URL https://www.cairox.be/FR/documentation/C05.050.1-SDR-Conduits-rectangulaires. Consulté le 08 juin 2023.
- [3] VENTILAIRgroup. Rhp 1200 u, 2023. URL https://www.ventilairgroup.be/be-fr/produits/systemes-de-ventilation/systemes-double-flux-avec-pompe-a-chaleur-integree/rhp-1200-u/groups/g+c+a+view. Consulté le 08 juin 2023.
- [4] VENTILAIRgroup. Fiche technique rhp, 2023. URL https://www.ventilairgroup.be/media/files/Brochure\_RHP\_FR.pdf. Consulté le 08 juin 2023.
- [5] VENTILAIRgroup. Manuel rhp, 2023. URL https://www.ventilairgroup.be/media/files/Manual\_RHP\_EN.pdf. Consulté le 08 juin 2023.